

赝相位共轭列阵的衍射特性

周国生 王绍民 陈英礼
(山西大学物理系) (杭州大学物理系) (交通大学应用物理系)

提 要

本文利用衍射理论, 计算了有大块对称畸变介质下, 赝相位共轭列阵的特性——单元的光学变换矩阵、分辨率和补偿各类畸变的机制。

一、引 言

四波混频相位共轭技术可以补偿相位畸变, 现正在广泛进行研究中。但它需要高质量的泵浦源。而赝相位共轭技术却不需要任何泵浦源, 有非常宽的光谱特性, 价格低廉, 同样可以补偿相位畸变, 如利用角立方自返列阵^[1]。有关的理论探索也在不断涌现^[2~4]。最近实验^[5, 6]证明了以前的理论, 而且指出, 平面光纤列阵和微珠列阵还能补偿非薄层畸变, 如畸变介质是毛细管、塑料杯等。但这些实验结果, 都还没有用理论予以解释。

本文的目的, 就在于用夫琅和斐衍射理论, 回答上述问题, 为获得新的赝相位共轭器提供理论指导与设计公式。

二、赝相位共轭列阵的光学单元

究竟什么样的光学单元所组成的列阵, 具有赝相位共轭特性呢?

设单元的光线变换矩阵为:

$$\begin{pmatrix} A & B \\ C & D \end{pmatrix}, \quad B=0, \quad (1)$$

式中 A 、 C 、 D 为待求量。设各光学单元是互相光学隔离的, 具有相同的光学特性。列阵光轴垂直于列阵平面, 而且通过列阵中心。在列阵的输入平面 $z=0$ 和输出平面 $z=l$ 上, 各单元光轴的位置分别由 $(x_{1m}, y_{1m}, 0)$ 和 (x_{2m}, y_{2m}, l) 表示, 如图 1 所示。这里第一个脚标 1 和 2 分别表示在输入平面和输出平面上。第二个脚标 m 表示第 m 个单元。由于是平面列阵, 显然有 $x_{1m}=x_{2m}$, $y_{1m}=y_{2m}$ 。设物点 $(x_0, y_0, -u)$ 离输入平面距离为 u 。物、象点与列阵之间充满了畸变介质, 物方与象方的畸变介质分布在列阵两边, 互相对称。对于反射列阵, 物方和象方是同一畸变介质。如文献 [7] 所示, 由点 (x_0, y_0) 出发, 到达点 (x_1, y_1) 的光线通过畸变介质后, 附加相位畸变变为 $\pi T(x_0, y_0; x_1, y_1)/\lambda u$, 这里 λ 是光波波长, T 是正比于由介质畸变而引起的光程长的改变。于是由物点 (x_0, y_0, u) 到列阵上任一点 $(x_1, y_1, 0)$ 的点扩展函数 $h_1(x_1, y_1; x_0, y_0)$ 为

收稿日期: 1984年3月13日

$$\begin{aligned}
 h_1(x_1, y_1; x_0, y_0) &= (i/\lambda u) \exp(-ik u) \\
 &\times \exp\{- (i\pi/\lambda u) (x_0^2 - 2x_0x_1 + x_1^2 + y_0^2 - 2y_0y_1 + y_1^2)\} \\
 &\times \exp\{- (i\pi/\lambda u) T(x_0, y_0; x_1, y_1)\}, \tag{2}
 \end{aligned}$$

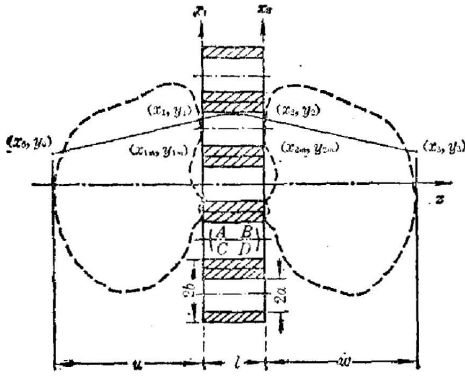


图 1 赝相位共轭平面列阵示意图
(虚线内是畸变介质)

Fig. 1 Diagram of the planar pseudo-phase-conjugate array
(Distorted medium is in the dotted-line)

其中 $x_1 = x_{1m} + \xi_{1m}$, $|\xi_{1m}| < b$; $y_1 = y_{1n} + \eta_{1n}$, $|\eta_{1n}| < b$ 。这里 $2b$ 是单元的线度, k 是波数, $k = 2\pi/\lambda$ 。设相位畸变可分解为 x 方向和 y 方向,

$$T(x_0, y_0; x_1, y_1) = T(x_0, x_1) + T(y_0, y_1),$$

由于每一光学单元的线度很小, 于是可将 T 作泰勒展开

$$\begin{aligned}
 T(x_0, x_1) &= T(x_0, x_{1m}) + \xi_{1m} \partial T(x_0, x_{1m}) / \partial x_{1m} \\
 &\quad + (1/2) \xi_{1m}^2 \partial^2 T(x_0, x_{1m}) / \partial x_{1m}^2 + \dots \\
 &= T_{0,1m} + \xi_{1m} T'_{0,1m} + (1/2) \xi_{1m}^2 T''_{0,1m} + \dots \tag{3}
 \end{aligned}$$

若介质的“宏观”畸变不大, 可以只保留相位畸变的二次项, 于是

$$\begin{aligned}
 T_{0,1m} &\cong t_{11} x_0^2 + 2t_{12} x_0 x_{1m} + t_{22} x_{1m}^2 \\
 &\quad + 2t_{13} x_0 + 2t_{14} x_{1m} + t_0, \tag{4}
 \end{aligned}$$

等式右方的二次项代表“宏观”的类透镜畸变, 一次项代表“宏观”的类劈形畸变, t_0 代表薄板畸变。在 y 方向, 也有同样的近似。

由于各光学单元是相互光学隔离的, 所以入射到列阵平面上的光线, 分别通过各单元, 再传播到列阵的输出平面上。在输出平面上的场可由 $ABCD$ 矩阵元形式的费涅耳公式求得:

$$\begin{aligned}
 h_2(x_2, y_2; x_0, y_0) &= (i/\lambda B) e^{-ikl} \int_{-a_1}^{a_1} \int_{-a_1}^{a_1} d\xi_1 d\eta_1 h_1(x_1, y_1; x_0, y_0) \\
 &\quad \times \exp\left\{- \frac{i\pi}{\lambda B} [A(\xi_1^2 + \eta_1^2) - 2(\xi_1 \xi_2 + \eta_1 \eta_2) + D(\xi_2^2 + \eta_2^2)]\right\}. \tag{5}
 \end{aligned}$$

上式中 l 是光学单元轴向光程长, a_1 是由图 1 所示的光学单元的输入尺寸。由于矩阵元 $B=0$, 上述积分可近似为:

$$\begin{aligned}
 h_2(x_2, y_2; x_0, y_0) &= (1/A) h_1(x_{1m} + \xi_{2m}/A, y_{1n} + \eta_{2n}/A; x_0, y_0) \\
 &\quad \times \exp[-ikl - (i\pi c/\lambda A) (\xi_{2m}^2 + \eta_{2n}^2)], \\
 &\quad \text{当 } |\xi_{2m}/A| < a_1, |\eta_{2n}/A| < a_{10} \tag{6}
 \end{aligned}$$

附加相位畸变, 决定于光程长。在没有磁光介质的情况下, 光程长与光线方向无关。由于光线从列阵输出面射出后, 又通过对称的畸变介质, 或者对于反射列阵来说, 反向通过同一畸变介质。因此, 由点 (x_2, y_2) 到点 (x_3, y_3) 的光线的附加相位畸变与由点 (x_1, y_1) 到点 (x_2, y_2) 的光线的附加相位畸变的形式相同宗量交换, 即 $\pi T(x_3, y_3; x_2, y_2)/\lambda w$ 。在距离列阵输出面为 w 的平面上的场, 将是各单元射出的光在该平面上的叠加, 于是点扩展函数 $h_3(x_3, y_3; x_0, y_0)$ 为

$$\begin{aligned}
 h_3(x_3, y_3; x_0, y_0) = & \sum_{m=-N}^N \sum_{n=-N}^N (i/\lambda w) \exp(-ikw) \int_{-a_1}^{a_1} \int_{-a_1}^{a_1} d\xi_2 d\eta_2 h_2(x_2, y_2; x_0, y_0) \\
 & \times \exp\{-(i\pi/\lambda w)(x_3^2 - 2x_3x_2 + x_2^2 + y_3^2 - 2y_3y_2 + y_2^2)\} \\
 & \times \exp\{-i\pi T(x_2, y_2; x_0, y_0)/\lambda w\}, \quad (7)
 \end{aligned}$$

式中 $x_2 = x_{2m} + \xi_2$, $|\xi_2| < a_1$; $y_2 = y_{2m} + \eta_2$, $|\eta_2| < a_0$ 。列阵的单元数为 $(2N+1)^2$ 。将(6)式代入, 注意到

$$\begin{aligned}
 T(x_3, y_3; x_2, y_2) = & T_{3,2m} + \xi_{2m} T'_{3,2m} + (\xi_{2m}^2/2) T''_{3,2m}, \\
 T_{3,2m} \approx & t_{11}x_3^2 + 2t_{12}x_3x_{2m} + t_{22}x_{2m}^2 + 2t_{13}x_3 + 2t_{14}x_{2m} + t_{00}
 \end{aligned}$$

经过整理得,

$$\begin{aligned}
 h_3(x_3, y_3; x_0, y_0) = & C' \sum_{m=-N}^N \sum_{n=-N}^N \exp\{-iP_2(x_{2m}^2 + y_{2m}^2)\} \\
 & + (i2\pi/\lambda u)x_{2m} [x_0(1-t_{12}) + x_3(1-t_{13})u/w - t_{14}(1+u/w)] \\
 & + (i2\pi/\lambda u)y_{2m} [y_0(1-t_{12}) + y_3(1-t_{13})u/w - t_{14}(1+u/w)] \\
 & \times \int_{-a_1}^{a_1} \int_{-a_1}^{a_1} d\xi_2 d\eta_2 \exp\{-iQ_2(\xi_2^2 + \eta_2^2)\} \\
 & + (i2\pi/\lambda u)\xi_2 \left[\frac{1}{A} \left(x_0 - \frac{1}{2} T'_{0,1m} \right) + \frac{u}{w} \left(x_3 - \frac{1}{2} T'_{3,2m} \right) \right. \\
 & \left. - x_{2m} \left(\frac{1}{A} + \frac{u}{w} \right) \right] + (i2\pi/\lambda u)\eta_2 \\
 & \times \left[\frac{1}{A} \left(y_0 - \frac{1}{2} T'_{0,1m} \right) + \frac{u}{w} \left(y_3 - \frac{1}{2} T'_{3,2m} \right) - y_{2m} \left(\frac{1}{A} + \frac{u}{w} \right) \right], \quad (8)
 \end{aligned}$$

这里

$$\begin{aligned}
 C' = & (-1/\lambda^2 A u w) \exp[-ik(u+v+w)] \\
 & \times \exp\{-(i\pi/\lambda u) [(1+t_{11})(x_0^2 + y_0^2) + (1+t_{11})(x_3^2 + y_3^2)u/w \\
 & + 2t_{13}(x_0 + y_0 + x_3 + y_3) + t_0(1+u/w)]\}. \\
 P_2 = & (\pi/\lambda)(1+t_{22})(1/u+1/w). \quad (9)
 \end{aligned}$$

$$Q_2 = \frac{\pi}{\lambda} \left[\left(1 + \frac{1}{2} T''_{0,1m} \right) / (uA^2) + \left(1 + \frac{1}{2} T''_{3,2m} \right) / w + \frac{A}{C} \right]. \quad (10)$$

当 $Q_2=0$, 每个单元产生一个单元象, $(2N+1)^2$ 个单元产生 $(2N+1)^2$ 个象。由(10)式 $Q_2=0$, 可决定物象距关系。单元象的位置、垂轴放大率都与介质畸变项 $T''_{0,1m}$ 、 $T''_{3,2m}$ 有关, 象距也不等于物距, 因此它不能补偿相位畸变。

当象距等于物距 $w=u$, 并取 $A=-1$, 则有 $T'_{3,2m}=T'_{0,1m}$, $T''_{3,2m}=T''_{0,1m}$ 。若 $Q_2 a_1^2$ 不远小于 π , 则(8)式的积分中, x_{2m} 和 y_{2m} 项的系数为 0, 但由于 Q_2 依赖于 $T''_{0,1m}$, 因此积分仍与单元序数 m 有关, 不存在综合象, 或没有清晰的综合象。当 $Q_2 a_1^2 \ll \pi$, 即为

$$|(2+T''_{0,1m})/u-C| a_1 \ll \lambda/a_1 \quad (11)$$

时, (8)式可简化为

$$\begin{aligned}
 h_3(x_3, y_3; x_0, y_0) = & C' 4a_1^2 \operatorname{sinc} \left[\frac{2\pi a_1}{\lambda u} (x_3 - x_0) \right] \\
 & \times \sin c \left[\frac{2\pi a_1}{\lambda u} (y_3 - y_0) \right] \sum_{m=-N}^N \sum_{n=-N}^N \exp\{-iP_2(x_{2m}^2 + y_{2m}^2)\} \\
 & + i(2\pi/\lambda u)x_{2m} [(1-t_{12})(x_0 + x_3) - 2t_{14}] \\
 & + i(2\pi/\lambda u)y_{2m} [(1-t_{12})(y_0 + y_3) - 2t_{14}]. \quad (12)
 \end{aligned}$$

这里 $\text{sinc } x = \sin x/x$, 它在宗量为零时有极大。上式表明, 在 $x_3 = x_0, y_3 = y_0, w = u$ 处有点源所成的象, 象的放大倍数等于 1, 点源的象的位置、垂轴放大率都与畸变介质无关。

若在物平面上场分布为 $E_0(x_0, y_0)e^{i\phi(x_0, y_0)}$, 则在象平面上 $w = u$ 处的场分布为

$$E_3(x_3, y_3) = \iint dx_0 dy_0 h_3(x_3, y_3; x_0, y_0) E_0(x_0, y_0) e^{i\phi(x_0, y_0)}. \quad (13)$$

若设计得使 $2\pi a_1/(\lambda u)$ 足够大, 譬如在文献[1]的实验中 $2a_1 = 250 \mu$, $\lambda = 10^{-5} \text{ cm}$ 取 $u = 10 \text{ cm}$, 则 $2a_1/\lambda u = 250 \text{ cm}^{-1}$ 。sinc 函数有尖锐的极大, 极大半宽度仅为 $1/250 \text{ cm}$, 这样可粗略地近似

$$\text{sinc}[(2\pi a_1/\lambda u)(x_0 - x_3)] \simeq (\lambda u/2a_1)\delta(x_0 - x_3). \quad (14)$$

将上式代入(12)式, 再代入(13)式, 可得

$$\begin{aligned} E_3(x_3, y_3) &\simeq C' E_0(x_3, y_3) \exp[i\phi(x_3, y_3)] \\ &\times \sum_{m=-N}^N \sum_{n=-N}^N \exp\{-iP_2(x_{2m}^2 + y_{2m}^2) + (i2\pi/\lambda u)x_{2m}[(1-t_{12})(x_0 + x_3) - 2t_{14}] \\ &+ (i2\pi/\lambda u)y_{2n}[(1-t_{12})(y_0 + y_3) - 2t_{14}]\}. \end{aligned} \quad (15)$$

由上式可见, 在(14)式的粗略近似下, 在象平面 $w = u$ 上, 场分布与物分布相同, 只差相位因子及多单元干涉因子项, 这些相位因子与畸变介质有关。这公式还说明, 虽有畸变介质存在, 但只要它所引起的相位畸变的二次微商项 $T'_{0,1m}$ 乘以 a_1/u 远小于 λ/a_1 [(11)式], 即可适当选取列阵的单元, 当光线往复通过畸变介质或通过与列阵对称的畸变介质, 就可以补偿介质所引起的畸变, 得到原来的场分布, 呈腰相位共轭特性。(11)式还给出了组成腰相位共轭列阵的单元的光学变换矩阵为

$$\begin{pmatrix} -1 & 0 \\ C & -1 \end{pmatrix}, \quad (16)$$

其中

$$\begin{cases} Ca_1 \ll \frac{\lambda}{a_1} + \frac{2}{u} a_1, & \text{当 } C > 0, \\ -Ca_1 \ll \frac{\lambda}{a_1} - \frac{2}{u} a_1, & \text{当 } C < 0. \end{cases} \quad (17)$$

(16)式中 $D = -1$ 是由于光学变换矩阵的行列式等于 1 所要求的。(17)式说明, C 的绝对值是很小的量, 利用参考面移动技巧^[4]可使 $A = D = -1$ 及 $B = 0$ 的条件放宽, 但矩阵元 C 仍必须满足条件(17)。

三、腰相位共轭象的质量

单元排列的情况直接影响到象的质量。

当列阵中各单元作无规排列时, 象平面上的光强分布等于各单元的光强之和, 于是光强的点扩展函数为

$$\begin{aligned} |h_3(x_3, y_3; x_0, y_0)|^2 &= (8a^4/\lambda^4 u^4) \cdot (2N+1)^2 \\ &\times \{\text{sinc}[(2\pi a_1/\lambda u)(x_3 - x_0)] \text{sinc}[(2\pi a_1/\lambda u)(y_3 - y_0)]\}^2. \end{aligned} \quad (18)$$

因此, 象点的衍射光斑半径为 $\lambda u/2a_1$ 。上式说明, 单元输入尺寸 a_1 既不能太小, 也不能太

大, 应受(17)式约束。这时所成的象的强度与介质的体积畸变无关, 具有展相位共轭特性。

当各单元规则排列时, $x_{2m} = m \cdot 2b$, $y_{2n} = n \cdot 2b$, 这里 $2b$ 是每一单元的大小(见图1)。若 $P_2 a_1^2 \ll \pi$, 即

$$2(1+t_{22})Na_1/u \ll \lambda/a_1, \quad (19)$$

则点扩展函数(12)式化简为

$$\begin{aligned} h_3(x_3, y_3; x_0, y_0) = & (\lambda^2 u^2)^{-1} \exp\{-ik(2u+V)\} \\ & - (i\pi/\lambda u) [C_1(x_0^2 + y_0^2 + x_3^2 + y_3^2) + 2t_{13}(x_0 + y_0 + x_3 + y_3) + 2t_0] \\ & \times 4a_1^2 \operatorname{sinc}[(2\pi a_1/\lambda u)(x_3 - x_0)] \operatorname{sinc}[(2\pi a_1/\lambda u)(y_3 - y_0)] \\ & \times \frac{\sin\{(2N+1)(2\pi b/\lambda u)[(1-t_{12})(x_0 + x_3) - 2t_{14}]\}}{\sin\{(2\pi b/\lambda u)[(1-t_{12})(x_0 + x_3) - 2t_{14}]\}} \\ & \times \frac{\sin\{(2N+1)(2\pi b/\lambda u)[(1-t_{12})(y_0 + y_3) - 2t_{14}]\}}{\sin\{(2\pi b/\lambda u)[(1-t_{12})(y_0 + y_3) - 2t_{14}]\}}, \end{aligned} \quad (20)$$

上式中, $C_1 = 1 + t_{11}$, sinc 函数相应于单元衍射因子, 极大值在 $x_3 = x_0$, $y_3 = y_0$ 。主极大半宽度为 $\lambda u/2a_1$; 它们都与介质的体畸变无关。后面 \sin 函数之比代表多单元干涉因子, 主极大峰值在

$$\begin{aligned} x_3 = & -x_0 + (1-t_{12})^{-1}(m\lambda u/2b + 2t_{14}), \\ y_3 = & -y_0 + (1-t_{12})^{-1}(m\lambda u/2b + 2t_{14}), \quad m = 0, \pm 1, \pm 2, \dots \end{aligned} \quad (21)$$

主极大半宽度为 $\lambda u/[2b(2N+1)(1-t_{12})]$ 。主极大峰值间隔 Δx_3 为

$$\Delta x_3 = \lambda u/[2b(1-t_{12})]。 \quad (22)$$

因此多单元干涉因子与介质的体畸变有关。

单元衍射因子构成场分布的包络, 如图2所示。当 Δx_3 小于单元衍射因子半宽度时, 单元衍射因子包络下至少有两个多单元干涉因子主极大, 因此点源的象的光斑大小决定于干涉因子主极大的个数。当峰值间距 Δx_3 略小于单缝衍射因子半宽度的二倍时, 即

$$2a_1 > 2b(1-t_{12}) > a_1 \quad (23)$$

时, 包络下只有一个干涉因子主极大, 这时可以获得最清晰的象, 象点的衍射光斑半宽度等于干涉因子主极大的半宽度 $\lambda u/[2b(2N+1)(1-t_{12})]$ 。它决定于列阵的宽度与介质的体畸变。它的强度与单元数的平方成正比, 而无规则列阵的

象的强度与单元数成正比。规则列阵成象的缺点是象点中心不在 $x_3 = x_0$, $y_3 = y_0$ 处, 具体位置还决定于畸变, 因此规则列阵在有介质畸变情况下, 似乎不能给出更精确的分辨率。

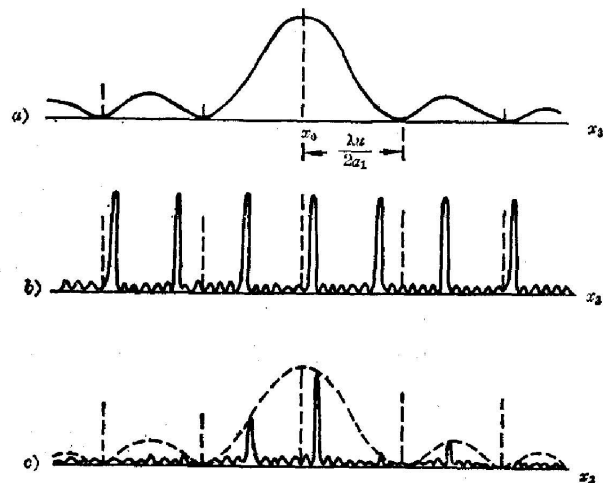


图2 7个光学单元组成的列阵点源成象示意图
(a) 单元衍射因子的平方; (b) 多单元干涉因子的平方;
(c) 点源象的光强分布

Fig. 2 Image distribution by an array containing 7 optical elements

四、赝相位共轭的几何光学诠释

在单元的输出面上, 位置为 a , 斜率为 ξ'_1 的光线, 通过由(16)、(17)式表示的光学单元后, 将变成位置 $-a$, 斜率 $-\xi'_1 + Ca$ 。这说明, 光焦度 C 的作用, 在于使光线的斜率有一附加的变化 Ca 。公式(17)说明, $|C|a_1$ 应远小于 $\lambda/a_1 + 2a_1/u$ 。 λ/a_1 近似等于单元衍射的第一个暗环的角距离, a_1/u 也很小。所以光焦度 C 是很小的, 小到使光的偏转, 大致在衍射范围附近, 因此(16)、(17)式所表示的单元, 基本上就是自返单元。矩阵元 $A=D=-1$ 的作用在于使光线的位置和方向发生反转, 使反射光线始终与入射光线平行, 且有一位置的偏移。由于各单元很小, 并组成列阵, 各单元来的“自返”光线, 虽不能会聚到原来的物点或物点的对称位置, 却都能会聚在物点(或物点的对称位置)附近、半径为 $2a_1$ 的范围内, 如图3所示,

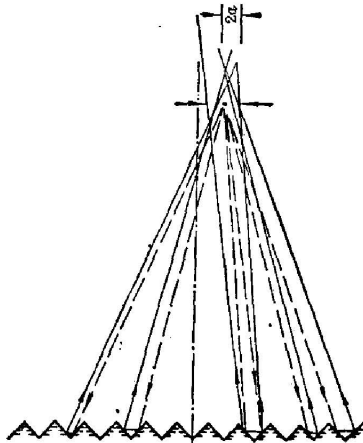


图3 赝相位共轭反射列阵
成像示意图

Fig. 3 Illustration of the imaging process by the pseudo-phase-conjugate reflecting array

形成一半径为 $2a$ 的光斑。

介质所引起的畸变, 可分为在单元大小内的“微观”畸变和单元间的“宏观”畸变。前者由系数 $T'_{0,1m}$ 和 $T''_{0,1m}$ 表示, 后者由 t_{11} 、 t_{12} 、 t_{22} 、 t_{13} 和 t_{14} 等表示。

对于单元大小内的“微观”畸变来说, 由于自返单元使入射光线的位置与方向发生反转, 因此抵消了奇次项畸变 $T'_{0,1m}\xi$ 和 $T''_{0,1m}\xi^3$ 。自返单元不能补偿单元大小线度内的二次畸变 $T''_{0,1m}\xi^2$ 。但只要选取 u 足够大, a_1 足够小, 总可以使 $a_1 T''_{0,1m}/u \ll \lambda/a_1$, 从而使条件(11)满足, 略去 $T''_{0,1m}\xi^2$ 项。

至于引起波前改变的“宏观”畸变, 使各单元到达象点的光的相位不同。在无规排列的列阵中, 象强等于各单元自返光的光强的叠加。由畸变引起的相位不同, 对象强没有影响, 于是“补偿”了畸变。在规则排列的列阵中, t_{11} 、 t_{13} 出现在系数 C' 中, 与 x_0 、 y_0 、 x_3 和 y_3 有关。系数 t_{11} 、 t_{22} 和 t_{14} 出现在对 m 的求和号中。在夫琅和费近似下, t_{22} 的作用可以忽略不计。与 t_{12} 、 t_{14} 有关的相位畸变, 会使多单元干涉因子的峰值位置、半宽度和峰值间隔发生改变, 但这些改变都很小, 都在单元衍射因子的包络下变化, 而单元衍射因子包络的极大位置, 半宽度却与畸变无关, 因此, 总体看来, 补偿了主要的畸变。

为了能利用夫琅和费近似和使条件(17)式成立, 使 u 增大, 这可以在物和反射列阵之间放一望远镜。

邓锡铭、方洪烈、赫光生和姚建铨同志对本文提出宝贵意见, 作者谨对他们表示感谢。

参 考 文 献

- [1] H. H. Barrent & S. F. Jacobs; *Opt. Lett.*, 1979, **19**, 6, 190.
- [2] S. F. Jacobs; *Opt. Eng.*, 1982, **21**, 2, 281.
- [3] 王绍民; 《杭州大学学报》, 1983, **10**, 4, 476.

- [4] 王绍民;《杭州大学学报》, 1984, **1**, 1, 11.
[5] 王绍民等;《物理学报》, 1983, **10**, No. 3 (Mar), 191.
[6] 黄维实等;《中国激光》, 1983, **10**, No. 3 (Mar), 191.
[7] M. Born and E. Wolf;《*Principles of Optics*》, (Pergamon Press, 1959), 459.

Diffraction properties of pseudo-phase-conjugate array

ZHOU GUOSHENG

(Shanxi University)

WANG SHAOMIN

(Hangzhou University)

CHEN YINGLI

(Shanghai Jiao Tong University)

(Received 13 March 1984)

Abstract

The properties of the pseudo-phase-conjugate array—the optical transfer matrix of the optical elements of the array, the resolution of the array and the mechanism of the compensation for distortions caused by a large volume of distortion medium are analyzed by using diffraction theory.